

УДК 539.3

© 1994 г. А. Ю. ВИНОГРАДОВ, Ю. И. ВИНОГРАДОВ

СОВЕРШЕНСТВОВАНИЕ МЕТОДА ПРОГОНКИ С. К. ГОДУНОВА
ДЛЯ ЗАДАЧ СТРОИТЕЛЬНОЙ МЕХАНИКИ

Показано, что в методе операция ортогонализации вектора частного решения к другим векторам не является необходимой и сохраняется ортогонализация только векторов, образующих фундаментальную систему решений. Это сокращает вычислительные процедуры и время счета.

Предложен способ сокращения вычислений при решении задач с разными вариантами поверхности, массовой или тепловой нагрузки.

Начальные векторы для численного интегрирования разрешающей системы линейных обыкновенных дифференциальных уравнений предлагается определять с помощью присущей методу процедуры ортонормирования системы векторов. При этом исходная система уравнений может быть записана относительно не имеющих физического смысла функций, через которые выражаются физические параметры задачи, и краевые условия могут иметь общий вид различных зависимостей физических параметров.

1. Расчет оболочечных элементов и конструкций из них часто сводится к решению краевых задач для систем линейных обыкновенных дифференциальных уравнений, являющихся жесткими

$$Y'(x) = A(x)Y(x) + f(x) \quad (1.1)$$

$$BY(0) = b \quad (1.2)$$

$$DY(1) = d \quad (1.3)$$

Здесь $Y(x)$, $f(x)$ — вектор-функции размерности n ; $A(x)$, B , D — матрицы соответственно размерностей $n \times n$, $(n - r) \times n$, $r \times n$ рангов соответственно n , $(n - r)$, r ; b , d — векторы размерностей соответственно $(n - r)$, r .

Для решения таких задач широко используется метод ортогональной прогонки Годунова [1—5], в соответствии с которым решение ищется в виде

$$Y(x) = Y_0(x) + \sum_{i=1}^r c_i Y_i(x) \quad (1.4)$$

Здесь $Y_0(x)$ — частное решение неоднородной системы (1.1); $Y_i(x)$ — линейно независимые решения системы (1.1) при $f(x) \equiv 0$, т. е. однородной системы. Решение в виде (1.4) должно удовлетворять условиям на крае $x = 0$, от которого выполняется интегрирование, при любых значениях констант c_1, \dots, c_r .

2. В матричной записи (1.4) имеет вид $Y(x) = Yc$, где $Y = \|Y_i(x), \dots, Y_r(x), Y_0(x)\|$ — матрица размерности $n \times (r + 1)$; $c = \{c_1, \dots, c_r, 1\}^T$ — вектор-столбец констант.

В соответствии с методом в конце каждого участка интервала интегрирования векторы $Y_0, Y_i, i = 1, \dots, r$ подвергаются процедуре ортогонализации $Y = ZW$, где $W = \|w_i\|$ — верхнетреугольная матрица размерности $(r + 1) \times (r + 1)$; $Z = \|z_1, \dots, z_r, z_0\|$ — матрица с ортогональными столбцами, первые r из которых нормированы [2—5].

Помимо ортогонализации и нормирования по процедуре Грамма — Шмидта

векторов \mathbf{Y}_i , $i = 1, \dots, r$, образующих фундаментальную систему решений, к получаемой системе векторов ортогонализируется без нормирования и вектор частного решения \mathbf{Y}_0 .

Видно, что этот вектор не нормируется для удобства, чтобы на любом участке коэффициент при векторе \mathbf{Y}_0 сохранялся равным единице, т. е. чтобы оставался равным единице последний элемент вектора \mathbf{c} . Из этого следует, что $w_{(r+1), (r+1)} = 1$.

Однако операция ортогонализации вектора частного решения \mathbf{Y}_0 к другим векторам \mathbf{Y}_i , $i = 1, \dots, r$ не является необходимой, т. к. он не имеет при себе неизвестной константы в силу того, что этот вектор не входит в фундаментальную систему решений.

Таким образом, предлагается ортогонализовать только векторы \mathbf{Y}_i , $i = 1, \dots, r$, образующие фундаментальную систему решений.

Тогда последние столбцы матриц Y и Z будут совпадать, а последний столбец матрицы W вместо вида $\{w_{(r+1), 1}, \dots, w_{(r+1), (r+1)}, 1\}^T$ на любом участке будет иметь вид

$$\{0, \dots, 0, 1\}^T \quad (2.1)$$

и теперь его не надо вычислять, как и последний столбец матрицы Z .

3. Ортогонализация только векторов, образующих фундаментальную систему решений, приводит как к сокращению времени счета, так и к значительному удобству при решении задач строительной механики, когда приходится анализировать состояние конструкции или ее элементов при различных вариантах поверхностной, массовой или тепловой нагрузки.

В этом случае приходится решать краевые задачи для системы (1.1) с различными правыми частями $f(x)$.

Для решения таких задач не следует повторять расчет с начала для каждой новой вектор-функции нагрузки $f(x)$. В этом случае большую часть вычислений — вычисление первых r столбцов матриц Y , Z , W для всех участков интервала интегрирования следует выполнить один раз при прямом ходе прогонки при решении задачи для первой вектор-функции нагрузки $f(x)$ и запомнить для использования при других $f(x)$.

Полученные результаты могут быть использованы для любой другой вектор-функции нагрузки $f(x)$ потому, что не зависят от $f(x)$, а зависят только от геометрии и свойств материала конструкции (ее элемента), т. е. от матрицы $A(x)$ системы (1.1), а также от условий на крае $x = 0$, т. к. этим условиям должно удовлетворять выражение (1.4).

Таким образом, для любой новой вектор-функции нагрузки $f(x)$ необходимо заново выполнить только меньшую часть прямого хода и обратный ход прогонки, а наиболее длительная часть расчета — вычисление и ортонормирование векторов, образующих фундаментальную систему решений, выполняется только один раз.

Если ортогонализовать все столбцы матрицы Z (включая вектор частного решения), то при каждом новом векторе $f(x)$ при прямом ходе пришлось бы пересчитывать последние векторы всех матриц Y , Z , W при каждом новом векторе $f(x)$ для каждого участка интервала интегрирования.

Если ортогонализировать только векторы, образующие фундаментальную систему решений, то для нового вектора $f(x)$ придется пересчитывать только последний столбец матрицы Y , т. к. последние столбцы матриц Y , Z совпадают, а последний столбец матрицы W имеет вид (2.1). Это делает процедуру расчета более наглядной и уменьшает время счета.

4. Как отмечалось выше, решение в виде (1.4) должно удовлетворять условиям на крае $x = 0$ при любых значениях констант c_1, \dots, c_r . Это достигается за счет определенных значений начальных векторов $\mathbf{Y}_i(0)$, $i = 0, 1, \dots, r$, являющихся начальными значениями вектор-функций $\mathbf{Y}_i(x)$, $i = 0, 1, \dots, r$, образующих (1.4).

Необходимые начальные векторы $\mathbf{Y}_i(0)$, $i = 0, 1, \dots, r$ очевидны только в

простейшем случае, когда все элементы искомой вектор-функции $\mathbf{Y}(x)$ являются различными искомыми физическими параметрами задачи, т. е. когда система (1.1) имеет канонический вид, и когда краевые условия заданы на отдельные физические параметры. В этом случае матрицы B и D имеют только по одному ненулевому элементу в любой строке и поэтому запись краевых условий в матричном виде (1.2), (1.3) не имеет смысла.

Во многих задачах строительной механики краевые условия являются сложными, имея смысл упругого опирания, когда задаются зависимости между перемещениями и силовыми факторами, а ненулевые векторы \mathbf{b} и \mathbf{d} соответствуют реакции деформирования упругой опоры от предварительного поджатия. Краевые условия имеют аналогичный вид в задачах анализа отдельных элементов конструкций, когда сопряженные элементы конструкций учитываются через их коэффициенты влияния. При этом система (1.1) может быть записана не в каноническом виде, а относительно любых вспомогательных функций, которые могут не иметь физического смысла, выражаясь через физические параметры и их производные [6].

В этих случаях матричная форма записи (1.2), (1.3) краевых условий является наиболее естественной и начальные векторы $\mathbf{Y}_i(0)$, $i = 0, 1, \dots, r$ являются неочевидными.

Определить требуемые начальные векторы $\mathbf{Y}_i(0)$, $i = 0, 1, \dots, r$ можно используя процедуру ортонормирования векторов, свойственную методу ортогональной прогонки.

Для этого построим невырожденную матрицу G размерности $n \times n$, первыми строками которой выберем строки матрицы B . Остальные ($n - r$) строк матрицы G могут быть получены различными путями. Например, исходя из того, что число различных физических параметров, на которые могут быть заданы краевые условия, равно размерности n разрешающей системы (1.1) и того, что различные ФП выражаются линейно независимыми строками коэффициентов при элементах искомой вектор-функции $\mathbf{Y}(x)$. Это означает, что существует n таких линейно независимых строк, которые могут быть использованы как строки матрицы G .

Имея матрицу G , запишем систему линейных алгебраических уравнений

$$GY(0) = \mathbf{u} \quad (4.1)$$

или в блочном виде

$$\begin{vmatrix} B \\ \dots \\ R \end{vmatrix} \begin{vmatrix} Y(0) \end{vmatrix} = \begin{vmatrix} \mathbf{b} \\ \dots \\ \mathbf{e} \end{vmatrix} \quad (4.2)$$

где R — матрица, содержащая последние r строк матрицы G , \mathbf{e} — неизвестный вектор размерности r .

Известно [7], что система линейных алгебраических уравнений с невырожденной матрицей коэффициентов, например, (4.2) может быть преобразована к эквивалентной системе линейных алгебраических уравнений с ортонормированными строками матрицы коэффициентов $QY(0) = \mathbf{h}$ или в блочном виде

$$\begin{vmatrix} Q_B \\ \dots \\ Q_R \end{vmatrix} \begin{vmatrix} Y(0) \end{vmatrix} = \begin{vmatrix} h_b \\ \dots \\ h_e \end{vmatrix}$$

где Q_B, Q_R — матрицы размерностей $(n - r) \times n$, $r \times n$ рангов $(n - r)$, r соответственно; $\mathbf{h}_b, \mathbf{h}_e$ — векторы размерностей $(n - r)$, r .

Если ортонормирование строк матрицы G выполняется последовательно, начиная с первой [7], то могут быть вычислены элементы матрицы Q (матриц Q_B, Q_R) и вектора \mathbf{h}_b . Элементы вектора \mathbf{h}_e не могут быть вычислены, так как необходимые для этого элементы вектора \mathbf{e} неизвестны.

Построение матрицы Q_B и вектора \mathbf{h}_b выполняется эквивалентным преобра-

зование первых $(n - r)$ строк системы (4.1). Эти строки содержат уравнение (1.2). Следовательно, полученное уравнение

$$Q_B Y(0) = h_b \quad (4.3)$$

есть эквивалентная запись краевых условий при $x = 0$.

Имея матрицы Q_B , Q_R и вектор h_b , построим начальные векторы.

За начальные векторы $Y_i(0)$, $i = 1, \dots, r$ примем соответственно i -е транспонированные строки матрицы Q_R , т. е. $(i + (n - r))$ -е строки матрицы Q : $Y_i(0) = \{q_{il}, \dots, q_{in}\}^T$ ($i = 1, \dots, r$, $j = i + (n - r)$).

За начальный вектор $Y_0(0)$ примем следующую линейную комбинацию транспонированных строк матрицы Q_B , т. е. первых $(n - r)$ строк матрицы Q :

$$Y_0(0) = \sum_{i=1}^{(n-r)} (h_{bi} \{q_{il}, \dots, q_{in}\}^T)$$

где h_{bi} — i -й элемент вектора $h_b = \{h_{b1}, \dots, h_{bn}\}^T$.

Построенные таким образом начальные векторы линейно независимы, т. к. они ортогональны.

При $Y(x)$ в виде (1.4) и построенных начальных векторах уравнение (4.3) и, следовательно, эквивалентное ему уравнение (1.2) удовлетворяются при любых значениях констант c_1, \dots, c_r . В этом легко убедиться, если при $x = 0$ подставить построенные начальные векторы $Y_i(0)$, $i = 0, 1, \dots, r$ в выражение (1.4), а (1.4) подставить в выражение (4.3). При этом учитывается, что начальные векторы $Y_i(0)$, $i = 0, 1, \dots, r$ и матрица Q_B состоят из ортонормированных строк матрицы Q .

Таким образом, для определения необходимых начальных векторов предлагаются использовать присущую методу С. К. Годунова процедуру ортонормирования системы векторов — строк системы линейных алгебраических уравнений.

5. Рассмотрим статический изгиб круговой цилиндрической оболочки. Один край оболочки заделан, а другой край, свободный от закрепления, нагружен сосредоточенной радиальной силой P .

Разрешающее дифференциальное уравнение общей моментной теории для круговой цилиндрической оболочки имеет вид [6]:

$$\begin{aligned} & c^2 (\nabla^2 \nabla^2 + 2\nabla^2 + 1) \nabla^2 \nabla^2 F - 2c^2 (1 - v) \left(\frac{\partial^4}{\partial \alpha^4} - \frac{\partial^4}{\partial \alpha^2 \partial \beta^2} \right) \nabla^2 F + \\ & + (1 - v^2) \frac{\partial^4}{\partial \alpha^4} F - \frac{(1 - v^2) h}{12Ec^2} Z = 0, \quad \nabla^2 = \frac{\partial^2}{\partial \alpha^2} + \frac{\partial^2}{\partial \beta^2} \end{aligned}$$

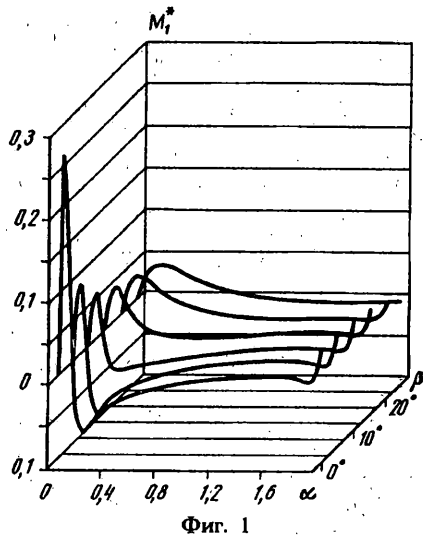
где $F = F(\alpha, \beta)$ — искомая вспомогательная функция продольной α и окружной β координат, v — коэффициент Пуассона, E — модуль Юнга, h и R — толщина и радиус оболочки, $c^2 = h^2/(12R^2)$, $Z = Z(\alpha, \beta)$ — нормальная к поверхности оболочки внешняя распределенная нагрузка;

Все физические параметры оболочки выражаются через искомую вспомогательную функцию $F(\alpha, \beta)$ и ее частные производные.

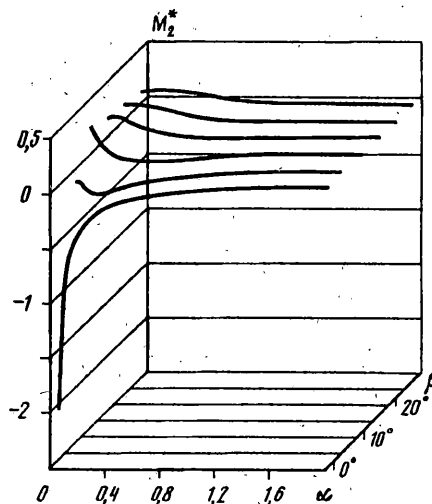
Для приведения задачи к виду (1.1)–(1.3) переменные были разделены использованием ряда Фурье по окружной координате β . Удержаны гармоники с 0 по 100 включительно, так как сравнение частичных сумм показало, что приведенные результаты при большем количестве удерживаемых гармоник не уточняются.

Для каждой гармоники сравнивались решения, получаемые с выполнением ортогонализации вектора частного решения неоднородной системы обыкновенных дифференциальных уравнений и без этой операции. Полученные в обоих случаях решения полностью совпадали.

Для оболочки с параметрами $R/h = 200$, $L/R = 2$, где L — длина оболочки,



Фиг. 1



Фиг. 2

на фиг. 1, 2 показаны графики безразмерных продольного $M_1^* = \pi M_1 / P$ и окружного $M_2^* = \pi M_2 / P$ изгибающих моментов. Координаты α , β отсчитываются от точки приложения радиальной сосредоточенной силы P .

СПИСОК ЛИТЕРАТУРЫ

1. Годунов С. К. О численном решении краевых задач для систем линейных обыкновенных дифференциальных уравнений//Успехи математических наук. 1961. Т. 1. Вып. 3 (99). С. 171—174.
2. Conte S. D. The numerical solution of linear boundary value problems.—Siam Review, 1966. Vol. 8. N. 3. P. 239—244.
3. Кармшин А. В., Лясковец В. А., Мяченков В. И., Фролов А. Н. Статика и динамика тонкостенных оболочечных конструкций. М.: Машиностроение, 1975. 376 с.
4. Бидерман В. Л. Механика тонкостенных конструкций. М.: Машиностроение, 1977. 488 с.
5. Грибанов В. Ф., Крохин И. А., Паничкин Н. Г. и др. Прочность, устойчивость и колебания термонапряженных оболочечных конструкций. М.: Машиностроение, 1990. 368 с.
6. Власов В. З. Избранные труды. М.: Изд-во АН СССР, 1962. Т. 1. 528 с.
7. Березин И. С., Жидков Н. П. Методы вычислений. Т. 2. М.: Физматгиз, 1962. 640 с.

Москва.

Поступила в редакцию
14.IX.1993